

РАСПРОСТРАНЕНИЕ ЭЛЕКТРОМАГНИТНОЙ ВОЛНЫ ПОПЕРЕК  
МАГНИТНОГО ПОЛЯ В ПАРАБОЛИЧЕСКОМ ПЛАЗМЕННОМ СЛОЕ

В. Р. Смилянский

(Новосибирск)

Получены коэффициенты отражения и прохождения, а также коэффициент трансформации электромагнитной волны в плазменную. Рассмотрен вопрос о выборе «физического» пути аналитического продолжения решений в случае волнового уравнения с двумя полюсами.

**1. К постановке задачи.** Пусть плоская волна распространяется вдоль оси  $z$ , плазма неоднородна также вдоль оси  $z$ , внешнее магнитное поле направлено по оси  $y$ . В этом случае электрическое поле волны

$$E_x(z, t) = E_x(z)e^{i\omega t}$$

описывается уравнением [1]

$$\frac{d^2 E_x}{dz^2} + \frac{\omega^2}{c^2} \left[ 1 - \frac{v(1-is-v)}{(1-is)^2 - u - (1-is)v} \right] E_x = 0, \quad i = \sqrt{-1} \quad (1.1)$$

$$v = g(1 - z^2/z_m^2), \quad g = \omega_k^2/\omega^2, \quad u = \omega_H^2/\omega^2, \quad s = v_{\text{eff}}/\omega$$

Здесь  $\omega$  — циклическая частота,  $\omega_H$  — гирочастота для электронов,  $\omega_k$  — плазменная частота в максимуме слоя,  $v_{\text{eff}}$  — эффективное число столкновений,  $z_m$  — полутолщина слоя,  $c$  — скорость света. Ниже будем полагать, что  $u$  и  $s$  не зависят от  $z$ .

Распространение обыкновенной и необыкновенной волн в параболическом слое в приближении геометрической оптики рассматривалось в [2]. Однако в [2] не учитывалось влияние областей, где геометрическая оптика нарушается. Основное же содержание дальнейшего составляет как раз учет влияния полюсов в коэффициенте при  $E_x$  на распространение волны. Случай линейного слоя рассмотрен в [3, 4].

**2. Асимптотические решения.** Введем в уравнения (1.1) новую независимую переменную  $\tau = z/z_m$ . Тогда оно запишется в виде

$$(\tau^2 - \tau_1^2) \frac{d^2 E_x}{d\tau^2} + [p(\tau^2 - 1)^2 + q(2\tau^2 - \tau_1^2 - 1)] E_x = 0 \quad (2.1)$$

$$\tau_1^2 = 1 + \frac{u - (1-is)^2}{g(1-is)}, \quad q = \left( \frac{z_m \omega}{c} \right)^2, \quad p = \frac{qg}{1-is}$$

Две регулярные особые точки уравнения ( $\tau = \pm \tau_1$ ) сливаются в одну при  $\tau_1 = 0$  ( $s = 0, \omega^2 = \omega_H^2 + \omega_k^2$ ). При  $\tau_1^2 = 1$  ( $s = 0, \omega^2 = \omega_H^2$ ) регулярные особые точки отсутствуют, что физически вполне понятно, так как в точках  $\tau = \pm 1$  плотность плазмы равна нулю. Что же касается значения  $\omega = \omega_H$ , то это значение  $\omega$  в уравнении (1.1) не выделено, что связано с приближением, в котором уравнение получено.

Как известно [5], существуют решения  $E_x^{(1)}, E_x^{(2)}$  уравнения (2.1), которые при выполнении условий  $|\tau| > |\tau_1| |\sqrt{p\tau^2}| \gg 1$  имеют следующие

асимптотические представления:

$$\begin{aligned} E_x^{(1)} &\sim (\sqrt{p\tau^2})^{0.5r_1} e^{i0.5\sqrt{p\tau^2}} [1 + O(1/\sqrt{p\tau^2})] \\ E_x^{(2)} &\sim (\sqrt{p\tau^2})^{0.5r_2} e^{-i0.5\sqrt{p\tau^2}} [1 + O(1/\sqrt{p\tau^2})] \\ r_{1,2} &= -\frac{1}{2} \mp \frac{p\tau_1^2 + 2q - 2p}{\sqrt{-4p}} \end{aligned}$$

Условие  $|\tau| > |\tau_1|$  приводит к условию  $|\tau_1| < 1$ , что ограничивает область рассматриваемых частот. В частности, при  $s = 0$  допустимая область частот

$$\omega_H^2 \leq \omega^2 < \omega_H^2 + 2\omega_k^2$$

Если падающая волна распространяется со стороны  $\tau < 0$ , то  $E_x^{(2)}$  при  $\tau > 0$  описывает прошедшую волну. Соответственно, при  $\tau < 0$  наоборот  $E_x^{(2)}$  — отраженная волна,  $E_x^{(1)}$  — падающая.

Для определения амплитудных коэффициентов отражения  $R$  и прохождения  $D$  нужно знать связь между асимптотическими решениями  $E_x^{(2)}$  при  $\tau > 0$ , и  $E_x^{(1)}$ ,  $E_x^{(2)}$  для  $\tau < 0$  ( $|\tau| > |\tau_1|$ ). Эта связь для некоторого уравнения, частным случаем которого является (2.1), установлена в [6]. Пользуясь результатами [6], можно записать

$$\begin{aligned} D &= \frac{1}{2} \pi^{-1} e^{i\pi(\eta-1)} \Gamma(1/2 + \mu' - \eta) \Gamma(1/2 - \mu' - \eta) \\ R &= e^{i1.5\pi} (q_{\pm} 2 \cos 2\pi\mu' + e^{-i2\pi\eta}) D \\ \eta &= 1/4(r_2 - r_1), \quad q_+ = 1, \quad q_- = 0 \end{aligned} \quad (2.2)$$

Здесь  $\Gamma$  — гамма-функция,  $q_{\pm}$  соответствует обходу особых точек  $\tau = \pm \tau_1$  (при переходе с  $\tau > 0$  на  $\tau < 0$ ) по верхней полуплоскости комплексной  $\tau$ -плоскости,  $q_-$  — обходу по нижней;  $\mu'$  определяется характером особых точек  $\tau = \pm \tau_1$ .

3. Определение  $\mu'$ . Решения  $y_1, y_2$  уравнения (2.1) в окрестности особых точек  $\tau = \pm \tau_1$  имеют вид [5]

$$\begin{aligned} y_1 &= (\tau \mp \tau_1) \sum_{v=0}^{\infty} C_v (\pm \tau_1) (\tau \mp \tau_1)^v \\ y_2 &= \mp b y_1 \ln(\tau \mp \tau_1) + \sum_{v=0}^{\infty} d_v (\pm \tau_1) (\tau \mp \tau_1)^v \\ C_0 &= 1, \quad d_0 = -1, \quad b = -(\tau_1^2 - 1)[p(\tau_1^2 - 1) + q] / 2\tau_1 \\ C_{v-1}(\tau_1) &= -\frac{1}{2v(v-1)\tau_1} \sum_{k=k_0}^{v-2} C_k g_k(v), \quad k_0 = \begin{cases} 0 & (v \leq 6) \\ v-6 & (v > 6) \end{cases} \quad (v=2, 3, \dots) \\ g_{v-2}(v) &= (v-1)(v-2) + (\tau_1^2 - 1)[p(\tau_1^2 - 1) + q], \quad g_{v-5} = 4p\tau_1 \\ g_{v-3}(v) &= 4\tau_1[p(\tau_1^2 - 1) + q], \\ g_{v-4}(v) &= 2[p(3\tau_1^2 - 1) + q], \quad g_{v-6}(v) = p \end{aligned} \quad (3.1)$$

Здесь  $b$  определено методом Фробеннуса [5]. Как легко показать из рекуррентных соотношений, коэффициент  $C_v$  является четной функцией  $\tau_1$ , если  $v$  четно, и нечетной, если  $v$  нечетно. Как ясно из (3.1), поле  $E_x$  в

самой точке полюса ( $\tau_1 \neq 0$ ) конечно. Пользуясь методикой [6], имеем

$$\mu' = \frac{1}{8\pi i} \ln \delta + \frac{l}{4}, \quad \delta = \frac{2 - \beta + \sqrt{\beta(\beta - 4)}}{2 - \beta - \sqrt{\beta(\beta - 4)}} \quad (3.2)$$

$$\beta = \left\{ 4\pi b \left[ y_1 \frac{dy_1}{d\tau} \right]_{\tau=0} \right\}^2$$

Здесь  $l$  — целое число, подлежащее определению. Если уравнение имеет только одну регулярную особую точку (или вообще не имеет), то  $\mu' = 1/4(\rho_1 - \rho_2)$  согласно [6], где  $\rho_{1,2}$  — решения определяющего уравнения для рассматриваемой точки. Для уравнения (2.1) в точках  $\tau_1^2 = 0$ ,  $\tau_1^2 = 1$  указанным способом

$$\mu'_{(\tau_1^2=0)} = 1/4 \sqrt{1 + 4z_m^2 \omega_H^2 c^{-2}}, \quad \mu'_{(\tau_1^2=1)} = 1/4 \quad (3.3)$$

Целое число  $l$  нужно подобрать так, чтобы  $\mu'$  из (3.2) совпадало с  $\mu'$  из (3.3) при  $\tau_1^2 = 0$ ; 1. Для определения  $l$  выбираем  $\tau_1^2 = 1$ , так как при таком значении параметра  $\tau_1^2$  решения уравнения (2.1) однозначны и аналитичны во всей области  $|z| < \infty$  (см. п. 5). Непосредственно убеждаемся, что  $\mu'$  из (3.2) при  $\tau_1^2 = 1$  и  $\mu'$  из (3.3) при  $\tau_1^2 = 1$  совпадают, если  $l = 1$ . Таким образом, в (2.3) следует принять  $l = 1$ .

Если  $s = 0$ , то  $\tau_1$  либо действительно, либо чисто мнимое ( $\text{Re } \tau_1 = 0$ ). Поэтому из указанных выше свойств симметрии относительно  $C_\nu(\tau_1)$ , а также из (3.1), (3.2) следует, что при  $s = 0$   $\beta \geq 0$ .

Пусть  $s = 0$  и  $0 \leq \beta \leq 4$ . Тогда (см. (3.2))

$$|\delta| = 1, \quad 0 \leq \arg \delta \leq 2\pi, \quad 1/4 \leq \mu' \leq 1/2$$

т. е. при указанном изменении  $\beta$  переменная под знаком логарифма совершает обход точки разветвления логарифма и данная ветвь переходит в другую. Поэтому при  $\beta > 4$  нужно брать  $\ln \delta + i2\pi$ .

Пусть  $s = 0$ ,  $\beta \geq 4$ . В этом случае

$$\arg \delta = 0, \quad \mu' = 1/2 + i\psi \quad (\psi > 0)$$

Пользуясь рекуррентными соотношениями для  $C_\nu$ , можно показать, что независимо от того, с какой стороны  $\tau_1 \rightarrow 0$

$$\lim_{\tau_1 \rightarrow 0} \frac{y_1(\tau=0)}{\tau_1} = \sum_{k=0}^{\infty} a_k, \quad \lim_{\tau_1 \rightarrow 0} \frac{dy_1(\tau=0)}{d\tau} = \sum_{k=0}^{\infty} (k+1) a_k$$

$$a_k = (-1)^k [2^k k! (k+1)!]^{-1} \prod_{\nu=2}^{k+1} \left[ (\nu-1)(\nu-2) - \left( \frac{z_m \omega_H}{c} \right)^2 \right]$$

и, следовательно, для  $\mu'$  из (3.2) существует

$$\lim_{\tau_1 \rightarrow 0} \mu' = \lim_{\tau_1 \rightarrow +0} \mu'$$

Вместе с тем

$$1/4 \leq \text{Re } \mu' \leq 1/2 \quad \text{при } s = 0 \quad (l = 1)$$

С другой стороны, для достаточно толстого слоя выражение из (3.3) дает

$$\mu'_{(\tau_1^2=0)} \approx 0.5 z_m \omega_H / c \gg 1$$

Отсюда следует, что функция  $\mu'(\tau_1^2)$  имеет устранимый разрыв в точке  $\tau_1^2 = 0$  ( $s = 0$ ,  $\omega^2 = \omega_H^2 + \omega_k^2$ ). Это объясняется, по-видимому, тем, что исходное уравнение (1.1) получено без учета пространственной дисперсии. Разумеется, нет оснований ожидать фактического скачка  $R(\mu')$ ,  $D(\mu')$  в точке  $\tau_1^2 = 0$ .

4. Получение  $R$ ,  $D$  и коэффициента трансформации. Пусть  $s = 0$ . В этом случае

$$\eta = i\kappa \quad (\kappa = 0.25z_m (c\omega_k)^{-1} (\omega_k^2 - \omega_H^2 - \omega^2))$$

Пусть дополнительно  $0 \leq \beta \leq 4$ . Тогда  $\mu'$  — действительно. Для этого случая из (2.2), согласно формуле 8.344.2 в [7], имеем

$$|D|^2 = \frac{e^{-2\pi\kappa}}{2 \cos 2\pi\mu' + e^{2\pi\kappa} + e^{-2\pi\kappa}} \quad (4.1)$$

$$|R|^2 = (q_{\pm} 2 \cos 2\pi\mu' + e^{2\pi\kappa})^2 |D|^2$$

Простая проверка полученных формул показывает, что для  $1/4 \leq \mu' \leq 1/2$  имеем  $|R|^2 + |D|^2 \geq 1$  при обходе по нижней полуплоскости и  $|R|^2 + |D|^2 \leq 1$  при обходе по верхней, причем в обоих случаях  $|R|^2 + |D|^2 = 1$  только для  $\mu' = 1/4$ . Отсюда следует, что физически правильный результат дает обход по верхней полуплоскости<sup>1</sup>. Поэтому правильные выражения для  $R$  и  $D$  в общем случае

$$\begin{aligned} D &= 1/2 \pi^{-1} e^{i\pi(n-1)} \Gamma(1/2 + \mu' - \eta) \Gamma(1/2 - \mu' - \eta) \\ R &= e^{i1.5\pi} (2 \cos 2\pi\mu' + e^{-2\pi\kappa}) D \end{aligned} \quad (4.2)$$

Рассмотрим также случай  $s = 0$ ,  $\beta \geq 4$ . В этом случае на основании формул 8.331 и 8.332.1 в [7]

$$\begin{aligned} |D|^2 &= \frac{1}{2} \frac{(\psi - \kappa)}{(\psi + \kappa)} \frac{e^{-2\pi\kappa}}{[\operatorname{ch} 2\pi\psi - \operatorname{ch} 2\pi\kappa]} \\ |R|^2 &= (e^{2\pi\kappa} - 2 \operatorname{ch} 2\pi\psi)^2 |D|^2 \end{aligned}$$

Если  $s = 0$ ,  $\eta = 0$ , то выражения (4.2) существенно упрощаются, а именно

$$D = -\frac{1}{2 \cos \pi\mu'}, \quad R = -i(2 \cos 2\pi\mu' + 1) D$$

Если в (4.1) формально положить  $\cos 2\pi\mu' = 0$  ( $\mu' = 1/4$ ), то зависимость полученных формальных выражений для  $|R|^2$ ,  $|D|^2$  от частоты  $\omega$  такая же, как и в случае нормального падения электромагнитной волны на параболический слой изотропной плазмы (см. [1], § 17). Поэтому общий характер этой зависимости для  $|R|^2$  и  $|D|^2$  существенно не меняется и при малых  $|\cos 2\pi\mu'|$ , т. е. при малых ( $\mu' - 1/4 > 0$ ).

Существенное же отличие от случая нормального падения на параболический слой изотропной плазмы здесь проявляется в том, что отличен от нуля коэффициент трансформации электромагнитной волны в плазменную  $|F|^2 = 1 - |R|^2 - |D|^2$  (см. ниже).

Как видно из (3.2), величина  $\beta$ , а значит и  $\mu'$ , будет, вообще говоря, сложной функцией  $\omega^2$ ,  $\omega_k^2$ ,  $\omega_H^2$ ,  $z_m^2$ ,  $c^2$ . Однако при определенных условиях выражение для  $\beta$  можно существенно упростить. Воспользуемся раз-

<sup>1</sup> Интересно, что в [6] физически правильный результат получился при обходе по нижней полуплоскости.

ложением

$$(y_1 dy_1 / d\tau)^2 = (\tau \mp \tau_1)^2 [1 + 6C_1(\pm \tau_1)(\tau \mp \tau_1) + \dots] \quad (4.3)$$

Пусть  $s = 0$ ,  $\tau = 0$ . Тогда вторым членом ряда в (4.3) можно пренебречь по сравнению с первым, если

$$\omega^2 \ll \omega_H^2 + \omega_k^2 \frac{2}{3} \left( \frac{c}{\omega_H z_m} \right)^2$$

В этом случае

$$\beta \approx 4\pi^2 \left( \frac{\omega^2 - \omega_H^2}{\omega_k^2} \right)^2 \left( \frac{z_m \omega_H}{c} \right)^4 \quad (4.4)$$

Если, например,  $\omega_H^2 \ll \omega_k^2$  и  $2/3 (c / \omega_H z_m)^2 \gg 10$ , то выражение (4.4) можно использовать во всем интервале допустимых частот  $\omega_H^2 \leq \omega^2 < \omega_H^2 + 2\omega_k^2$  (см. п. 2).

Из (4.2) следует, что сдвиг фаз  $\varphi$  между отраженной и падающей волнами в начале слоя ( $\tau = -1$ )

$$\varphi = -\operatorname{Im}(\eta \ln p) + \operatorname{Re} \sqrt{p} - \arg R \quad (4.5)$$

Из (4.5), согласно формуле 8.362.1 из [7], имеем

$$\begin{aligned} \Delta t_{\text{гр}} = \frac{d\varphi}{d\omega} = & - \frac{d}{d\omega} [\operatorname{Im}(\eta \ln p) + \arg(2 \cos 2\pi\mu' + e^{-2\pi\eta}) + \pi \operatorname{Re} \eta] - \\ & - 2 \operatorname{Im} \left\{ \mu' \frac{d\mu'}{d\omega} \sum_{k=0}^{\infty} \frac{1}{\chi_k} + \left[ 0.577215 + \frac{\sigma}{\chi_0} - \sum_{k=1}^{\infty} \frac{\chi_0 + k\sigma}{k\chi_k} \right] \frac{d\eta}{d\omega} \right\} \\ & \sigma = 1/2 - \eta, \quad \chi_k = (\sigma + k)^2 - \mu'^2 \end{aligned}$$

Величина  $|F|^2 = 1 - |R|^2 |D|^2$  при  $s = 0$  характеризует относительную долю энергии, которая поглощается в районе полюса. В районе полюса ( $1 - v - u = 0$ ,  $s = 0$ ) происходит трансформация электромагнитной волны в плазменную (см. [1,8]), поэтому для волн малой амплитуды утечку энергии в районе полюса при  $s = 0$  можно объяснить трансформацией.

С другой стороны, сам полюс возникает, если пренебречь пространственной дисперсией, и, следовательно, отражает в предельном случае влияние отброшенных членов. Поэтому  $|F|^2$  при  $s = 0$  можно рассматривать как коэффициент трансформации электромагнитной волны в плазменную при малых значениях параметра  $\beta_T^2$ , характеризующего пространственную дисперсию. Другими словами

$$|F|_{s=0}^2 = \lim L \quad \text{при } \beta_T^2 \rightarrow 0$$

где  $L$  — коэффициент трансформации, т. е.  $|F|_{s=0}^2$  — первый член разложения  $L(\beta_T^2)$  в ряд по  $\beta_T^2$ . В отличие от [8] (где к тому же взят другой закон изменения электронной плотности) здесь коэффициент трансформации удастся определить из уравнения второго порядка.

Приведенная выше трактовка величины  $|F|^2$  в различных аспектах рассмотрена в [9-11].

Если  $s = 0$ ,  $0 \leq \beta \leq 4$ , то

$$|F|^2 = \frac{|\cos 2\pi\mu' - 2e^{-2\pi\kappa} \cos^2 2\pi\mu'|}{\operatorname{ch} 2\pi\kappa - |\cos 2\pi\mu'|} \quad (4.6)$$

(Здесь  $\cos 2\pi\mu' < 0$ ). Зависимость  $|F|^2$  от  $\omega^2 / \omega_k^2$ , даваемая (4.6) для  $(c / z_m \omega_H)^2 = 20$ ,  $\omega_k^2 = 5\omega_H^2$ , изображена на фигуре.



В данной работе выбор пути аналитического продолжения решений осуществлен из условия диссипации энергии ( $|R|^2 + |D|^2 \leq 1$ ). Такой подход в случае одного простого полюса уже использовался ранее, например в [9,10]. Однако случай двух полюсов имеет некоторые специфические особенности. Поэтому представляется целесообразным обсудить его более детально (см. п. 5).

**5. О выборе «физического» пути аналитического продолжения решений.** Уравнение (2.1) является частным случаем рассмотренного в [6] уравнения

$$\frac{d^2 y}{dz^2} + \left( \frac{Q_1 z}{z^2 - z_1^2} + a_1 z \right) \frac{dy}{dz} + \left[ \frac{Q_2 z^2}{(z^2 - z_1^2)^2} + \frac{Q_3}{z^2 - z_1^2} + a + bz^2 \right] y = 0 \quad (5.1)$$

где  $Q_1, Q_2, Q_3, a, a_1, b$  — произвольные постоянные.

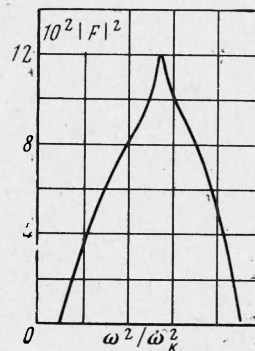
Решения уравнения (5.1) рассматриваются в данной работе и в [6] в основном в области  $|z_1| < |z| < |z_m| < \infty$ . В принципе, в  $z$ -плоскости возможны более чем два пути аналитического продолжения этих решений с положительной полуоси на отрицательную (например, еще и между полюсами  $z = \pm z_1$ ). Поэтому рассмотрим вопрос о том, какие вообще пути аналитического продолжения могут привести к физически правильному результату. Рассмотрение будем проводить параллельно для данной работы и для [6]. В дальнейшем к номерам формул из [6] будем добавлять букву А, например (А.1.2).

Как известно [1], учет пространственной дисперсии приводит вместо уравнений (1.1), (А.1.2) к системам четвертого порядка, коэффициенты которых (а значит и решения) аналитичны и однозначны в окрестности нулей  $\delta = [(1 - is)^2 - u - (1 - is)v], \epsilon'$ . Уравнения (1.1), (А.1.2) получаются из эквивалентных систем (в рассматриваемой области) уравнений четвертого порядка, если положить равным нулю малый параметр  $\beta_T^2$  при старших производных, т. е. являются в определенном смысле вырожденными.

Влияние отброшенных членов особенно велико в области, где мал коэффициент при второй производной, т. е. вблизи нулей  $\delta, \epsilon'$ . Поэтому, вообще говоря, решения вырожденных уравнений на действительной оси в окрестности нулей  $\delta, \epsilon'$  (если нули расположены на или вблизи действительной оси) могут не отвечать реальной физической картине, т. е. не быть физическими. На это указывает неоднозначность решений и расходимость их в нулях. В этом случае физические решения в окрестности нулей  $\delta, \epsilon'$  можно получить только при помощи невырожденной системы четвертого порядка.

Надежное исключение составляет случай, когда решения вырожденного уравнения однозначны и аналитичны в окрестности нулей  $\delta, \epsilon'$ , несмотря на наличие полюса. (Отметим, что решения (А.2.1) ( $z_1 = 0$ ) однозначны и аналитичны, т. е. являются физическими, во всей области  $|z| < \infty$ , в том числе и в нуле  $\epsilon'(z = 0)$ . Это следует из (А.2.2).) В частности  $\lim_{z \rightarrow 0} G^{(1,2)} = \text{const}$  при  $z \rightarrow 0$ . Влияние отброшенных членов здесь мало даже в окрестности нуля  $\epsilon'$ . На это также указывает отсутствие трансформации ( $|R|^2 + |D|^2 = 1$ , см. п. 2)).

Следовательно, правильный путь аналитического продолжения решений уравнений (1.1), (А.1.2) (взятых вдали от нулей  $\delta, \epsilon'$ ) с положительной полуоси  $z$  на отрицательную в этом случае не обязательно должен совпадать с действительной осью (или совмещаться с ней путем непрерывной



деформации) в окрестности нулей  $\delta$ ,  $\varepsilon'$ . Более того, естественно ожидать, что в рассматриваемом случае обход нулей по пути, расположенному достаточно далеко от них в комплексной плоскости (т. е. там, где влияние отброшенных членов мало), как раз и даст физически правильный результат. (Хотелось бы указать на похожий прием в квазиклассическом методе [12].)

Именно такие пути использованы в данной работе и в [6]. В этих случаях путь между полюсами  $z = \pm z_1$  (т. е. между нулями  $\delta$ ,  $\varepsilon'$ ) не будет физическим, так как при определенных значениях параметров в (2.1) и (А.3.1) два полюса (нуля  $\delta$ ,  $\varepsilon'$ ) близки и даже сливаются в один.

Заметим также, что при определении целого числа  $l$ , входящего в  $\mu'$ , в уравнениях (2.1), (А.3.1) были выбраны такие параметры, при которых решения этих уравнений однозначны и аналитичны во всей области  $|z| < \infty$ . После всего сказанного выше это уже не нуждается в пояснениях.

Поступила 10 IX 1970

#### ЛИТЕРАТУРА

1. Г и н з б у р г В. Л. Распространение электромагнитных волн в плазме. М., «Наука», 1967.
2. S c o t t I. C. N. The Poynting vector in the ionosphere. Proc. IRE, 1950, vol. 38, No. 9.
3. Д е н и с о в Н. Г. Влияние постоянного магнитного поля на резонансный эффект, наблюдающийся при отражении электромагнитной волны от неоднородной плазмы. Радиотехника и электроника, 1956, т. 1, вып. 6.
4. Д е н и с о в Н. Г. О поглощении радиоволн в резонансных областях неоднородной плазмы. Радиотехника и электроника, 1959, т. 4, вып. 3.
5. А й н с Э. Л. Обыкновенные дифференциальные уравнения. Харьков, Гостехиздат Украины, 1939.
6. С м и л я н с к и й В. Р. Наклонное падение электромагнитной волны на параболический плазменный слой. ПМТФ, 1969, № 3.
7. Г р а д ш т е й н И. С., Р ы ж и к И. М. Таблицы интегралов, сумм, рядов и произведений. М., Физматгиз, 1963.
8. S t i x T. H. Radiation and absorption via mode conversion in inhomogeneous collision-free plasma. Phys. Rev. Letter, 1965, vol. 15, No. 23.
9. П и л и я А. Д. О трансформации волн в слабо неоднородной плазме. Ж. техн. физ., 1966, т. 36, вып. 11.
10. П и л и я А. Д., Ф е д о р о в В. И. Линейная трансформация волн в неоднородной магнитоактивной плазме. ЖЭТФ, 1969, т. 57, вып. 4.
11. Е р о х и н Н. С. К вопросу об аномальной трансформации волн в неоднородной плазме. Укр. физ. ж., 1969, т. 14, вып. 12.
12. Л а н д а у Л. Д., Л и ф ш и ц Е. М. Теоретическая физика, т. 3. Квантовая механика. Нерелятивистская теория. М., Физматгиз, 1963.